



## Symetrie unitarne w polarymetrycznej dekompozycji celów

JERZY KAPELEWSKI, ANDRZEJ DUKATA

Wojskowa Akademia Techniczna, Wydział Elektroniki, Instytut Radioelektroniki,  
00-908 Warszawa, ul. S. Kaliskiego 2

**Streszczenie.** W pracy rozpatrzono genezę dekompozycji celów w bazach generatorów grup unitarnych  $SU(2)$  (baza Pauliego) bądź  $SU(3)$  (baza Gell-Manna). W rozważaniach wykorzystano podejście Hamiltona wyprowadzające własności tzw. specjalnych grup unitarnych z symetrii rzutowej. Wspólną cechą generatorów obu tych grup unitarnych jest ich unimodularność wyrażająca się w jednostkowym wyznaczniku i zerowym śladzie. Własności te stanowią bezpośrednią konsekwencję charakterystycznej symetrii radarów polarymetrycznych w wersji monostatycznej. Są one zgodne z antyabelowym charakterem przedmiotowych grup symetrii, homomorficznych z grupą obrotów  $R_3$  i charakterystyczną dla nich relacją komutacji (jak dla macierzy Pauliego). Wspomniany wariant z racji szczególnie wyraźnych i głębokich korzeni teorio-grupowych w sposób istotny ułatwia wyodrębnienie praktyczne dominującego fizycznego mechanizmu rozpraszania. W pracy przeanalizowano genezę związków symetrii unitarnej zachodzących w trakcie rozpraszania polarymetrycznego SAR na różnej klasy obiektach. Umożliwia to spojrzenie na problem z bardziej ogólnego punktu widzenia, stwarzając jednocześnie podstawy dla uogólnienia metody na bardziej złożone przypadki, obejmujące zarówno cele zlokalizowane, jak i rozłożone. Przeprowadzone rozważania z racji założonej monostatyczności SAR koncentrują się na przypadku rozpraszania wstecznego z odpowiadającym mu symetrią macierzy rozpraszania.

**Słowa kluczowe:** elektronika, radar polarymetryczny, dekompozycja celów, macierze Pauliego, macierze Gell-Manna

**Symbole UKD:** 621.396.9

### 1. Wstęp

Niniejsza praca dotyczy genezy modeli dekompozycji celów w bazach generatorów specjalnych grup unitarnych. Wspólną cechą generatorów tych grup jest unimodularność wyrażająca się w jednostkowym wyznaczniku i zerowym śladzie.

Własności te stanowią bezpośrednią konsekwencję charakterystycznej symetrii radarów polarymetrycznych w wersji monostatycznej. Są one zgodne z antyabelowym charakterem przedmiotowych grup symetrii homomorficznych z grupą obrotów  $R_3$  i charakterystyczną dla nich relacją komutacji (jak dla macierzy Pauliego) [1-4].

Wariant ten z racji szczególnie wyraźnych i głębokich korzeni teorio-grupowych w sposób istotny ułatwia wyodrębnienie praktyczne dominującego fizycznego mechanizmu rozpraszania. W pracy przeanalizowano genezę związków symetrii unitarnych zachodzących w trakcie rozpraszania polarymetrycznego SAR, bazując na własnościach tzw. zwrotu Hamiltona z jego odniesieniem do obrotów generowanych odbiciami na nachylonych względem siebie płaszczyznach wirtualnych. Wskazano kluczową rolę tych własności dla generacji grup klasy SU jako grup specjalnego rodzaju obrotów (*wewnętrznych*) istotnie różnych od klasycznej grupy obrotów (*zewnętrznych*) izometrycznych jednak dla obu rodzajów algebr. Podkreślono znaczenie ustalonej już przez Hamiltona kwaternionowej metody określenia operacji zwrotu [5]. Umożliwia to spojrzenie na problem z bardziej ogólnego punktu widzenia i stwarza jednocześnie podstawy dla uogólnienia metody na bardziej złożone przypadki, obejmujące zarówno cele zlokalizowane, jak i rozłożone. Szczególnie interesująca wydaje się możliwość zastosowania bazy SU(3) dla wyjścia poza klasyczny w polarymetrycznym SAR przypadek monochromatycznej fali płaskiej, a także do dekompozycji macierzy koherencji w radarach wielokanałowych i w szeregu innych zastosowań polarymetrycznego SAR.

## 2. Baza SU(2) jako reprezentacja rzutowa

*Obroty właściwe* euklidesowej przestrzeni 3D wokół początku kartezjańskiego układu współrzędnych  $(x, y, z)$ , tzn. rzeczywiste transformacje ortogonalne z wyznacznikiem +1 wygodnie jest wyrazić przez rzut *stereograficzny* na płaszczyznę równikową  $(x', y', 0)$  sfery jednostkowej  $S^3$  ze środkiem w początku układu współrzędnych. Centrum rzutowania wybieramy w punkcie bieguna południowego tej sfery. Sam rzut wyraża wówczas zmienna  $s = x + iy$ . Odpowiednie formuły operacji rzutowania można wówczas zapisać w postaci [4]

$$x + iy = \frac{2s}{1 + |s|^2}, \quad x - iy = \frac{2s^*}{1 + |s|^2}, \quad z = \frac{1 - |s|^2}{1 + |s|^2}. \quad (1)$$

Na tym etapie zamiast jednej zmiennej  $s$  można wprowadzić dwie zmienne  $\xi$  i  $\eta$  związane relacją  $s = \eta/\xi$ . Zabieg ten rozszerza opis także na biegun południowy sfery (jako osobliwości generującej geometrię rzutowania), przez dodanie punktu o współrzędnych  $(\xi, \eta) = (0, 1)$ . W rezultacie mamy

$$x + iy = 2\eta\xi^*, \quad x - iy = 2\xi\eta^*, \quad z = |\xi|^2 - |\eta|^2, \quad 1 = |\xi|^2 + |\eta|^2. \quad (2)$$

Z powyższych równań wynika, że każda transformacja unitarna współrzędnych  $\xi$  i  $\eta$

$$\xi' = \alpha\xi + \beta\eta, \quad \eta' = \gamma\xi + \delta\eta \quad (3)$$

odpowiada pewnemu obrotowi sfery jednostkowej  $S^3$ , której punkty wyrażają tzw. *promienie*  $\xi$  i  $\eta$  dwuwymiarowej przestrzeni unitarnej. Z drugiej strony łatwo zauważyć, że dowolny punkt na sferze wraz z wybraną orientacją stycznej w tym punkcie można przekształcić w dowolną inną konfigurację na tej sferze za pomocą ww. obrotów (bez wyjątku). Wobec faktu, że mamy tu do czynienia jedynie ze stosunkiem współczynników  $\alpha, \beta, \gamma, \delta$  można wybrać współczynnik proporcjonalności, tak żeby wyznacznik macierzy transformacji był równy 1, co oznacza ograniczenie się do wzmiankowanych obrotów właściwych.

### 3. Baza SU(2) w grupie Lorentza

Wprowadźmy w euklidesowej przestrzeni 3D tzw. jednostkowe współrzędne rzutowe  $x_\alpha$

$$x = \frac{x_1}{x_0}, \quad y = \frac{x_2}{x_0}, \quad z = \frac{x_3}{x_0}. \quad (4)$$

Wówczas równanie sfery jednostkowej ma postać

$$-x_0^2 + x_1^2 + x_2^2 + x_3^2 = 0, \quad (5)$$

zaś relacje dla ww. rzutu stereograficznego przyjmą postać:

$$x_0 = |\xi|^2 + |\eta|^2, \quad x_1 = \xi^*\eta + \eta^*\xi, \quad x_2 = i(\eta^*\xi - \xi^*\eta), \quad x_3 = |\xi|^2 - |\eta|^2. \quad (6)$$

Łatwo rozpoznać w  $x_i$  parametry Stokesa, zaś w  $\xi$  i  $\eta$  składowe polarymetryczne pola E.

Dla dowolnej transformacji unitarnej  $\sigma$  (współrzędnych  $\xi$  i  $\eta$ ) z wyznacznikiem +1, współrzędne  $x_\alpha$  podlegają rzeczywistej transformacji liniowej, która nie zmienia równania (5).

Zgodnie z teorią względności (szczególną), normalne układy współrzędnych w czasoprzestrzeni związane są ze sobą przez transformację Lorentza, tj. stanowią rzeczywistą transformację liniową niezmienną formę (5). Transformacje te tworzą grupę — *pełną grupę Lorentza*. Grupa składa się z transformacji  *dodatnich*

(wyznacznik +1) oraz *ujemnych* (wyznacznik -1). Pierwsze z nich stanowią *redukowalną* grupę Lorentza, z której można uzyskać grupę pełną, dodając odbicia przestrzenne (obroty niewłaściwe)

$$x_0 \rightarrow x_0, \quad x_\alpha \rightarrow -x_\alpha, \quad \alpha = 1, 2, 3. \quad (7)$$

Transformacje w (6) są formami hermitowskimi z macierzami

$$\hat{\sigma}_0 = \begin{pmatrix} 1 & 0 \\ 0 & 1 \end{pmatrix}, \quad \hat{\sigma}_1 = \begin{pmatrix} 0 & 1 \\ 1 & 0 \end{pmatrix}, \quad \hat{\sigma}_2 = \begin{pmatrix} 0 & -i \\ i & 0 \end{pmatrix}, \quad \hat{\sigma}_3 = \begin{pmatrix} 1 & 0 \\ 0 & -1 \end{pmatrix}. \quad (8)$$

Oznaczmy przez  $\hat{s}$  macierz-kolumnienkę o elementach  $(\xi, \eta)$ , tj.

$$\hat{s} = \begin{pmatrix} \xi \\ \eta \end{pmatrix}. \quad (9)$$

Wówczas (6) można zapisać w postaci

$$x_\alpha = \hat{s}^\dagger \hat{\sigma}_\alpha \hat{s}. \quad (10)$$

gdzie  $\dagger$  oznacza sprzężenie hermitowskie.

#### 4. Obrót jako złożenie symetrii względem dwóch nierównoległych płaszczyzn (zwrot Hamiltona)

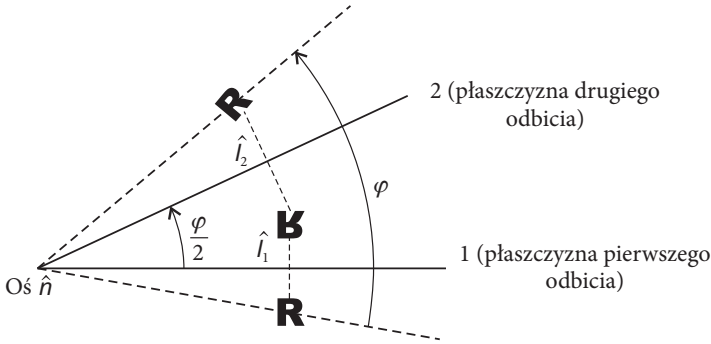
Aby opisać obrót  $R(\varphi, \hat{\mathbf{n}})$  możemy go rozpatrywać jako wynik uporządkowanego odbicia na dwóch fikcyjnych (wirtualnych) płaszczyznach, których przecięciem jest oś  $\hat{\mathbf{n}}$ , tworzących kąt dwuścienny  $\varphi/2$  z dodatnim kierunkiem obrotu od płaszczyzny 1 do 2 (czyli z orientacją  $\hat{\mathbf{n}}$  zgodną z regułą prawej dłoni) [4]. Jest to tzw. *zwrot Hamiltona* [6]. Generuje on obrót wokół osi  $\hat{\mathbf{n}}$  o kąt  $\varphi$ , czyli dwa razy większy od kąta dwuściennego (tj. od długości łuku na sferze jednostkowej). Jak wykazali Klein i Sommerfeld jeszcze w XIX wieku [7, 8] taki model odbicia odpowiada zastąpieniu zwykłej trójwymiarowej grupy obrotów  $R$  ( $SO(3)$ ) przez odpowiednią algebrę grupy  $SU(2)$  izomorficzną z grupą  $R$ . Należy podkreślić, że izomorfizm ten dotyczy algebry, a nie grupy  $SU(2)$ .

Z przedstawionych rozważań wynika, że zadany zwrot (obróć) można określić poprzez podanie uporządkowanej pary punktów (*głowa* i *ogon* zwrotu) na sferze jednostkowej. W celu bliższego opisu analitycznego operacji zwrotu, zamienimy dwa punkty na wersory  $\hat{\mathbf{a}}$  i  $\hat{\mathbf{b}}$  łączące środek sfery jednostkowej z końcem zwrotu. Takie dwa wersory określają iloczyn skalarny i wektorowy

$$s = \hat{\mathbf{a}} \cdot \hat{\mathbf{b}} = \cos \|\hat{T}\|, \quad \mathbf{v} = \hat{\mathbf{a}} \times \hat{\mathbf{b}} = \hat{\mathbf{n}} \sin \|\hat{T}\|, \quad (11)$$

gdzie  $\hat{\mathbf{n}}$  — wektor wzdłuż osi obrotu związanego ze zwrotem  $\hat{T}$ ,  $\|\hat{T}\|$  — długość  $l$  wektora zwrotu (zob. rys.). Te dwie wielkości (tj.  $s$  i  $\mathbf{v}$ ) można uważać za parametry zwrotu  $\hat{T} = \hat{T}(s, \mathbf{v})$ . Z definicji (11) wynika

$$s^2 + \mathbf{v} \cdot \mathbf{v} = 1. \quad (12)$$



Rys. Obrót o kąt  $\varphi$  wokół osi  $\hat{\mathbf{n}}$  generowany jest przez dwa kolejne odbicia  $\hat{l}_1$  i  $\hat{l}_2$  względem dwóch przecinających się płaszczyzn o kącie dwuściennym  $\varphi/2$

Związek ten ilustruje utożsamienie  $(s, \mathbf{v})$  z konkretnym punktem na powierzchni sfery jednostkowej  $S^3$  w euklidesowej czteroprzestrzeni. Długość zwrotu  $\|\hat{T}\|$  może przyjmować dowolne wartości w przedziale  $(0, \pi)$ , zaś  $\hat{\mathbf{n}}$  może być dowolnym kierunkiem w przestrzeni 3D. Wynika stąd, że parametry wyznaczające całą rozmaidłość możliwych operacji zwrotu pokrywają się z całą sferą  $S^3$ . Każdemu zwrotowi można zatem przypisać reprezentację algebraiczną

$$\hat{T} = \hat{T}(s, \mathbf{v}) = \hat{T}(s, v_1, v_2, v_3), \quad (13)$$

gdzie  $(s, v_1, v_2, v_3)$  — dowolny punkt na sferze  $S^3$ .

Zwrot geometryczny odpowiadający punktowi na  $S^3$  można wyrazić poprzez podanie długości  $\|\hat{T}\|$  ( $0 \leq \|\hat{T}\| \leq \pi$ ) wektora zwrotu z relacji  $\cos \|\hat{T}\| = s$  oraz wektora  $\hat{\mathbf{n}}$  ze związku

$$(n_1, n_2, n_3) \sin \|\hat{T}\| = (v_1, v_2, v_3). \quad (14)$$

## 5. O algebrze grup Lie

Każdej funkcji  $x(s)$  z danej grupy Lie przyporządkowuje się macierz jej uogólnionych współczynników Fouriera (albo widmowych, Hilberta itp.) tzw. macierz grupową

$$X = \sum_s x(s)U(s), \quad s - \text{element grupy}, \quad (15)$$

gdzie  $\tilde{G}: s \rightarrow U(s)$  reprezentacja danej grupy  $g$ . Ślad  $t(\text{Tr}X)$  macierzy  $X$

$$t = \sum_s x(s)X(s) \quad (16)$$

jest wtedy uogólnionym współczynnikiem Fouriera funkcji  $x(s)$  względem charakterów  $X(s)$  reprezentacji  $G$ . Wygodnie jest rozpatrywać funkcję  $x(s)$  jako wielkość  $\mathbf{x}$  w rozmaitości grupowej, tj.  $x(s)$  jest  $s$ -tą składową wielkości  $\mathbf{x}$ . Symbolicznie można to zapisać w postaci:

$$\mathbf{x} = \sum_s x(s)\hat{s}. \quad (17)$$

W reprezentacji  $G$  macierz  $X$  jest przyporządkowana wielkości  $\mathbf{x}: \mathbf{x} \rightarrow X$  względem  $G$ .

Wprowadzone wielkości grupowe zachowują się jak wektory w przestrzeni grupowej. Z równości (17) wynika następująca definicja iloczynu dwóch dowolnych wielkości grupowych  $\mathbf{x}$  i  $\mathbf{y}$ :

$$\mathbf{z} = \mathbf{xy} = \sum_{t,t'} x(t)y(t')\hat{t}\hat{t}' = \sum_s z(s)\hat{s}, \quad (18)$$

gdzie

$$z(s) = \sum_{t,t'=s} x(t)y(t'). \quad (19)$$

Dodawaniu i mnożeniu wielkości grupowych odpowiada dodawanie i mnożenie macierzy grupowych związanych z nimi przez relację (15).

Operacje, które można wykonywać z wielkościami grupowymi (i) dodawanie, (ii) mnożenie przez liczbę i (iii) mnożenie przez inną wielkość grupową, odpowiadają znanym prawom zwykłej algebry z dwoma wyjątkami: mnożenie nie jest (na ogół) przemienne, zaś dzielenie (też na ogół) niemożliwe. Oznacza to, że równanie  $\mathbf{ax} = \mathbf{b}$  nie ma jednoznacznego rozwiązania (lub nie ma go w ogóle). Jednakże zawsze istnieje wielkość  $\mathbf{1}$  o własnościach macierzy jednostkowej  $\hat{1}$ :

$$\mathbf{1} \cdot \mathbf{a} = \mathbf{a} \cdot \mathbf{1} = \mathbf{a}, \quad (20)$$

której wszystkie składowe zerują się za wyjątkiem jednej równej 1, odpowiadającej  $s = 1$ .

Zbiór opisanych wyżej wielkości nazywa się algebrą, zaś *wielkości grupowe* są elementami algebry. Nie należy ich utożsamiać z elementami grupy.

Przyporządkowanie  $\mathbf{x} \rightarrow X$  w reprezentacji  $G$  spełnia warunki:

1. elementowi  $\mathbf{1}$  odpowiada macierz jednostkowa  $\hat{1}$ ;
2. jeśli  $\mathbf{x} \rightarrow X, \mathbf{y} \rightarrow Y$ , a  $\alpha$  jest liczbą to  $\mathbf{x} + \mathbf{y} \rightarrow X + Y, \alpha\mathbf{x} \rightarrow \alpha X, \mathbf{x} \cdot \mathbf{y} \rightarrow X \cdot Y$ .

Reprezentacja  $G$  naszej grupy jest w jednakowym stopniu realizacją, tj. reprezentacją algebry grupowej przez macierze, dla której spełnione są powyższe warunki.

Powyższe uwagi dotyczą przejścia od macierzy  $U(s)$  odpowiadającej oddzielnym elementom grupy, do liniowej rozmaitości macierzy, dla której macierze  $U(s)$  stanowią bazę.

## 6. Reprezentacja rzutowa w $SU(2)$

Geneza reprezentacji rzutowej wiąże się z faktem, że w opisie kwantowym mamy do czynienia z reprezentacjami w przestrzeni stanów układu, które można rozpatrywać jako przestrzeń promieni (zorientowanych łuków), a nie zwykłych wektorów 2D lub 3D. Reprezentacja rzutowa przyporządkowuje każdemu elementowi  $s$  grupy abstrakcyjnej  $g$  unitarny obrót (zwrot)  $U(s)$  — promień  $n$ -wymiarowej przestrzeni reprezentacji.

Dla każdej macierzy unitarnej  $U(s)$  można wybrać dowolnie współczynnik cechowania:  $\varepsilon: U \rightarrow \varepsilon U$ , jednak jeśli  $g$  jest grupą ciągłą, to należy zapewnić ciągłość zależności  $U(s)$ . Wówczas reprezentację charakteryzuje warunek:

$$U(s)U(t) \sim U(st), \quad \text{tj.} \quad U(s)U(t) = \delta(s,t)U(st), \quad (21)$$

gdzie  $|\delta| = 1$  [2, 3]. Aby iloczyn dwóch elementów odpowiadał iloczynowi reprezentujących je macierzy, należy przyjąć regułę mnożenia:

$$xy(s) = \sum_{t,t'=s} \delta(t,t')x(t)y(t'). \quad (22)$$

Ciekawym przykładem grupy abelowej (tj. przemiennej) z nieprzywiedlną reprezentacją rzutową jest grupa złożona z czterech elementów  $I, a, b, c$  o następującej tablicy mnożenia [4, 6]:

$$a^2 = b^2 = c^2 = I, \quad bc = -cb = ia, \quad ca = -ac = ib, \quad ab = -ba = ic. \quad (23)$$

Odpowiada to reprezentacji rzutowej wyrażonej w macierzach:

$$U(I) = \hat{\sigma}_0, \quad U(a) = \hat{\sigma}_1, \quad U(b) = \hat{\sigma}_2, \quad U(c) = \hat{\sigma}_3 \quad (24)$$

określonych wzorem (8).

Norma (ww. macierzy) wybrana jest tak, aby

$$U^2(a) = U(a)U(a^{-1}) = 1 \quad (25)$$

i analogicznie dla  $1, b, c$  [3] z dodatkowym warunkiem  $\det U = 1$ . Algebra tej reprezentacji, określona przez (22), jest nieprzemienne, mimo że sama grupa jest abelowa. Jest to algebra zespolonych kwaternionów o elementach:

$$\mathbf{x} = \kappa \hat{1} + \lambda \hat{a} + \mu \hat{b} + \nu \hat{c} \equiv \kappa \hat{1} + (\lambda, \mu, \nu) = \cos \frac{\alpha}{2} + \mathbf{u} \sin \frac{\alpha}{2}, \quad (26a)$$

gdzie  $\mathbf{u}$  jest wektorem jednostkowym. Odpowiednio:

$$\mathbf{x}^{-1} = \cos \frac{\alpha}{2} - \mathbf{u} \sin \frac{\alpha}{2}. \quad (26b)$$

Oznaczmy przez  $\mathbf{v}$  zwykły wektor w 3D. Potraktujmy go jako kwaternion o rzeczywistej składowej równej zero. Z postaci (26) wynika, że iloczyn  $\mathbf{v}\mathbf{x}^{-1}$  oznacza w istocie wektor  $\mathbf{v}$  obrócony o kąt  $\alpha$  wokół osi  $\mathbf{u}$ . W powyższych wzorach „jednostki”  $\hat{1}, \hat{a}, \hat{b}, \hat{c}$  odpowiadają tej samej tablicy mnożenia, co i odpowiednie macierze  $\hat{\sigma}_n$  ( $n = 0, 1, 2, 3$ ), zaś  $\kappa, \lambda, \mu, \nu$  oznaczają liczby rzeczywiste.

## 7. Podsumowanie i uwagi uzupełniające

Przeprowadzone rozważania pozwalają lepiej zrozumieć genezę pojawienia się macierzy Pauliego jako bazy algebry grupy  $SU(2)$  w znanych polarymetrycznych modelach dekompozycji celów [9]. Zastosowanie tej właśnie bazy jest szczególnie wygodne w polarymetrii radarowej bowiem operuje ona dwuwymiarowymi stanami polaryzacyjnymi i z racji unitarności gwarantuje niezależność mierzonych parametrów energetycznych od transformacji grupowych.

Warto podkreślić, że w szeregu przypadkach dla dokonania bardziej szczegółowej dekompozycji macierzy koherencji wygodnie jest zwiększyć liczbę wymiarów algebry  $SU$  do trzech, tj. zastąpić bazę Pauliego grupy  $SU(2)$  bazą Gell-Manna generującą przestrzeń unitarną grupy  $SU(3)$ . Odpowiednia macierz unitarna dekompozycji ma w tym przypadku postać [10]

$$\hat{U}_3 = \exp \left( i \sum_{n=1}^8 \omega_n \hat{\beta}_n \right). \quad (27)$$



Relacja (27) pozwala zdefiniować macierz koherencji 3D w postaci

$$\langle T \rangle = \hat{U}_3 \hat{\Sigma} \hat{U}_3^{-1}, \quad (28)$$

gdzie

$$\hat{\Sigma} = \begin{pmatrix} \lambda_1 & 0 & 0 \\ 0 & \lambda_2 & 0 \\ 0 & 0 & \lambda_3 \end{pmatrix} \quad (29)$$

jest macierzą diagonalną o nieujemnych współczynnikach rzeczywistych.

W powyższych definicjach  $\hat{\beta}_n$  są wspomnianymi macierzami Gell-Manna, zaś  $\omega_n$  rzeczywistymi współczynnikami wagowymi stanowiącymi 3D odpowiednik parametrów wyrażających 2D przyczynki do poszczególnych macierzy Pauliego. W obu przypadkach parametry te wyrażają udział różnych mechanizmów rozpraszania w macierzy koherencji. Ich większa liczba (8 w SU(3) wobec 3 w SU(2)) generalnie wskazuje na możliwość uwzględnienia nowych, wyrażonych przez postać poszczególnych macierzy  $\hat{\beta}_n$ , przyczynków istotnych dla uzyskania optymalnego obrazu celu zwłaszcza w radarach wielokanałowych [10]. W szczególnym przypadku przejścia między dwoma kanałami (o różnej częstotliwości) wyrażonego poprzez zmianę wektorów bazy odpowiednią transformacją wyraża macierz unitarna (27).

Zauważmy, że postać (27) jest zwykłym uogólnieniem analogicznej formuły [9] dla  $\hat{U}$  w 2D

$$\hat{U}_2 = \exp(i\varphi \boldsymbol{\sigma} \cdot \hat{\mathbf{n}}) \equiv \sigma_0 \cos\varphi + i(\boldsymbol{\sigma} \hat{\mathbf{n}}) \sin\varphi. \quad (30)$$

Macierz koherencji  $\hat{T}$  strumienia EM w 2D zawiera całą mierzalną informację o jego stanie polaryzacji (włączając natężenie). Macierz  $\hat{T}$  definiuje relacja

$$\hat{T} = \langle \mathbf{E}(t) \otimes \mathbf{E}^\dagger(t) \rangle, \quad (31)$$

gdzie  $\mathbf{E}$ ,  $\mathbf{E}^\dagger$  oznaczają odpowiednio wektor Jonesa, którego dwie składowe są analitycznym sygnałem pola falowego oraz jego sprzężenie hermitowskie, a  $\otimes$  — iloczynem Kroneckera. Nawias  $\langle \rangle$  oznacza uśrednienie w czasie

$$\langle X \rangle = \lim_{T \rightarrow \infty} \frac{1}{T} \int_0^T X(t) dt. \quad (32)$$

Mając  $\hat{T}$ , można wyznaczyć stopień polaryzacji dany przez formułę [11]

$$G_{(2)} = \left( \frac{2\text{Tr}(\hat{T})^2}{(\text{Tr}\hat{T})^2} - 1 \right)^{1/2}. \quad (33)$$

Wielkość ta jest niezmiennikiem wyrażającym stabilną część elipsy polaryzacji. Macierz  $\hat{T}$  w grupie SU(2) wyraża się poprzez superpozycję trzech macierzy Pauliego i macierz jednostkową

$$\hat{T} = \frac{1}{2} \sum_{i=0}^3 s_i \hat{\sigma}_i, \quad s_i = \text{Tr}(\hat{T} \hat{\sigma}_i), \quad i = 0, 1, 2, 3, \quad (34)$$

gdzie  $\hat{\sigma}_i$  dane są wzorami (8). Rzeczywiste współczynniki  $s_i$  stanowią zbiór 4. parametrów Stokesa i określają w pełni stan polaryzacji.

Powyższą definicję macierzy koherencji  $\hat{T}$  w 2D można uogólnić na przypadek 3D, tj. uwzględnić 3 składowe pola falowego. Formalnie definicja macierzy koherencji w 3D nie różni się od przypadku 2D, z tym że teraz każdy z wektorów  $E$  ma 3 a nie 2 składowe. Odpowiednikiem bazy Pauliego jest tu baza Gell-Manna określona przez zbiór 8 macierzy. Jest ona znana w literaturze grupy SU(3) jako baza tej algebry. Przykładowo

$$\hat{\beta}_0 = \begin{pmatrix} 1 & 0 & 0 \\ 0 & 1 & 0 \\ 0 & 0 & 1 \end{pmatrix}, \quad \hat{\beta}_1 = \sqrt{\frac{3}{2}} \begin{pmatrix} 0 & 1 & 0 \\ 1 & 0 & 0 \\ 0 & 0 & 0 \end{pmatrix}, \dots, \hat{\beta}_8 = \sqrt{\frac{3}{2}} \begin{pmatrix} 1 & 0 & 0 \\ 0 & -1 & 0 \\ 0 & 0 & 0 \end{pmatrix}. \quad (35)$$

Można, podobnie jak w 2D, napisać:

$$\hat{T}_{(3)} = \frac{1}{3} \sum_{i=0}^8 q_i \hat{\beta}_i, \quad q_i = \text{Tr}(\hat{T}_{(3)} \hat{\beta}_i), \quad i = 0, \dots, 8. \quad (36)$$

Współczynniki  $q_i$  mają znaczenie parametrów Stokesa w 3D. Wówczas stopień polaryzacji zwany też *stopniem czystości* wyraża formuła [11]:

$$G_{(3)} = \left( \frac{1}{2} \frac{3 \text{Tr}(\hat{T}_{(3)})^2}{(\text{Tr} \hat{T}_{(3)})^2} - 1 \right)^{1/2}. \quad (37)$$

Niezmiennik ten zawiera się w przedziale

$$0 \leq G_{(3)} \leq 1.$$

$G_{(3)} = 1$  odpowiada przypadkowi gdy  $\hat{T}_{(3)}$  ma tylko jedną niezerową wartość własną (tzw. całkowita czystość polarymetryczna lub pełna korelacja między mierzonymi polaryzacjami). Z kolei  $G_{(3)} = 0$  oznacza równość wartości własnych  $\hat{T}_{(3)}$

(oznacza mieszaninę jednakowo prawdopodobnych stanów polaryzacji, czyli brak korelacji między zmierzonymi polaryzacjami).

Powyższe relacje i ich interpretacja stanowią rozszerzenie związków (33) oraz (34) na grupę  $SU(3)$ , uzyskane w pracy [10] analogiczną drogą jak w przypadku grupy  $SU(2)$ .

Praca naukowa finansowana ze środków na naukę w latach 2007-2010 jako projekt badawczy zamawiany PBZ-MNiSW-DBO-04/I/2007.

Artykuł wpłynął do redakcji 30.09.2009 r. Zweryfikowaną wersję po recenzji otrzymano w październiku 2009 r.

#### LITERATURA

- [1] S. R. CLOUDE, *Group theory and polarisation algebra*, Optik, 75, 1986, 26-36.
- [2] H. WEYL, *The theory of groups and quantum mechanics*, Dover Publications, 1931.
- [3] J. P. ELLIOTT, P. G. DAWBER, *Symmetry in Physics*, vol. 1, The Macmillan Press, London, 1979.
- [4] L. C. BIEDENHARN, J. D. LOUCK, *Angular Momentum in Quantum Physics*, Addison-Wesley Publishing Company, Massachusetts, 1981.
- [5] J. MASCHKE, L. SEVCIK, C. VLACEK, Z. ZAORALEK, *Decomposition of Jones matrix on the quaternions field and its application in fiber components modeling*, Opto-Electr. Rev., 4, 1996, 51-57.
- [6] W. R. HAMILTON, *Lectures on Quaternions*, Dublin, 1853.
- [7] F. KLEIN, A. SOMMERFELD, *Über die Theorie des Kreisels*, vol. 1, Teubner, Leipzig, 1897.
- [8] E. P. WIGNER, *Ann. of Math*, 40, 1939, 149.
- [9] S. R. CLOUDE, *A Review of Target Decomposition Theorems in Radar Polarimetry*, IEEE Trans. Geoscience and Remote Sensing, 34, 1996, 498.
- [10] L. FERRO-FAMIL, E. POTTIER, *Dual frequency polarimetric SAR data classification and analysis*, Progress in Electromagnetic Research, PIER 31, 2001, 247-272.
- [11] J. J. GIL, J. M. CORREAS, P. A. MELERO, C. FERREIRA, *Generalized polarization algebra*, Monografias del Seminario Matemático García de Galdeano, 31, 2004, 161-167.

J. KAPELEWSKI, A. DUKATA

#### Unitary symmetry in polarimetric target decomposition

**Abstract.** The paper is concerned with a discussion of some basic unitary symmetry features which are manifested in polarimetric monostatic radars and can be useful to formulate a polarimetric analysis of coherency matrix in term of decomposition on the Pauli (or prospectively also the Gell-Mann) basis. In the analysis we use the “turn” Hamiltonian approach to describe relations in unitary space having  $SU(2)$  (or  $SU(3)$ ) internal symmetry. It serves to generate the base matrices for providing an eigenvector-based decomposition of the coherency matrix. Although the considerations in the paper are restricted to the case of coherent back-scattering, the generalization to noncoherent field of targets (pixels) is possible as it is the case in the most known eigenvector-based target decomposition models.

**Keywords:** electronics, polarimetric radar, target decomposition, Pauli matrices, Gell-Mann matrices

**Universal Decimal Classification:** 621.396.9

